



F.2961.- Calizas del río Júcar. Rusciniense-Villafranquiense inf.
(Unidad 5).



F.2962.- Contacto entre la Unidad 5 y 6 (Areniscas y Arcillas de Villalgordo del Júcar.



F.2963.- Acumulación de gasterópodos. Unidad 5.



F.2964.- Arcillas carbonosas intercaladas en la Unidad 5. La Marmota 2. (Yacimiento de micromamíferos).



F.2965.- Calizas arenosas. (Unidad 5) al norte de Villalgordo del Júcar. Río Júcar.



F.2966.- Canal de conglomerados cerca de la carretera La Roda-La Gineta
Km. 217,5. Unidad 13. Plioceno sup.



F.2967.- Arcillas rojas (Facies de llanura de inundación) de la Unidad 6.
Villalgordo del Júcar. Villafranquiense.



F.2968.- Canal en la Unidad 6. Loma de Cerron.



F.2969.- Vista general de la serie de la Marmota y del yacimiento de micromamíferos "Cañada Real". Villafranquiense NM 17.



F.2970.- Unidad 11. Canal de arenas en las proximidades de Casa de Los Prietos. Villafranquense.



F.2971.- Unidad 11. Calizas margosas Casa de Los Prietos.



F.2972.- Unidad 11. "Tierra Blanca" de la Roda. Villafranquiense.



F.2973.- Proximidades de la Roda. Lutitas de la unidad 6.



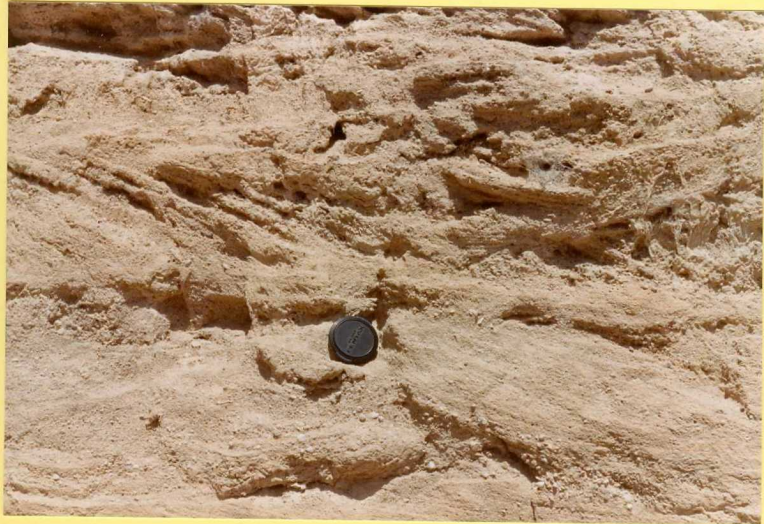
F.2974.- Fangos edafizados en Unidad 6. A techo depósitos cuaternarios correspondientes al fondo endorréico de La Roda.



F.2975.- Unidad 13. Estratificación cruzada a media escala, en las arenas de la unidad 13.



F.2976.- Unidad 13. Arenas con festoon y gravas a techo. Proximidades de Villalgordo.



F.2977.- Detalle de la foto anterior.



F.2978.- Unidad 13. Facies fluviales con desarrollo paleosuelos a techo.
Plioceno sup.



F.2979.- Arenas de la Unidad 13. Techo de la serie de Villalgordo.
Villafranquiente.



F.2980.- Canal en la unidad 13. Cementerio de La Roda.



F.2981.- Carretera de Madrid-La Roda. Facies de inundación y canal.
Unidad 13. Por debajo, estratigráficamente se situa la
"Tierra Blanca".



F.2982.- Costra laminar funivillafranquiense Cta. Villalgordo del Júcar-Casasimarro.



F.2983.- Detalle del encostramiento laminar de la foto anterior.



F.2984.- Unidad 14. Gravas con estructuras de corriente del Pleistoceno inf. cortando la costra laminar. Finivillafranquiense.



F.2985.- Desarrollo de suelos sobre la unidad anterior.



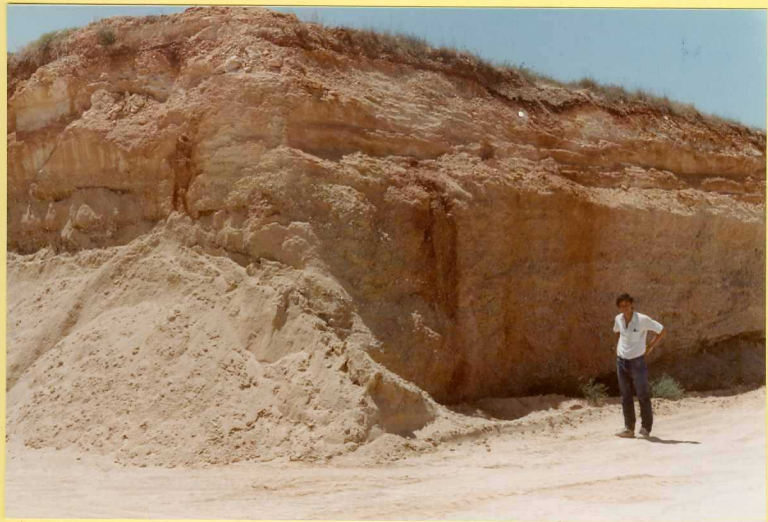
F.2986.- Encostramiento laminar. Superficie inf. de la Llanura manchega.
La Roda.



F.2987.- Acumulación de arenas eólicas en el río Júcar al norte de la Hoja.



F.2988.- Acumulación de arenas eólicas (Dunas) junto a la carretera de La Roda-Sisante al norte de la Hoja.



F.2989.- Terraza de Fuensanta. Sistema aluvial del río Júcar. Encostamiento carbonatado a techo. Pleistoceno medio.



F.2990.- Detalle de las gravas de la unidad anterior.



F.2991.- Encajamiento de la terraza de Fuensanta en las series pliocenas.



F.2992.- Aspecto en superficie de la misma terraza.



F.2992.- Molares de Mamuthus encontrados en la terraza de Fuensanta.
Oligoceno medio.



F.2992.- Otra perspectiva de la foto anterior.



F.2993.- Encostramiento laminar carbonatada. Superficie sup. de la Llanura manchega.



F.2994.- Relieve residual de la Superficie sup. de la Llanura manchega.
Cra. La Roda-Villalgordo.